

**ЭКСПЕРИМЕНТАЛЬНЫЕ ИССЛЕДОВАНИЯ СЖИМАЕМОСТИ
ПЕСЧАНЫХ ГРУНТОВ
И УСЛОВИЯ ПЛАСТИЧНОСТИ
ПРИ КРАТКОВРЕМЕННЫХ ДИНАМИЧЕСКИХ НАГРУЗКАХ**

A. И. Котов, З. В. Нарожная, Г. В. Рыков, В. П. Сутырин

(Москва)

1. Экспериментальные исследования образцов песчаных грунтов с объемным весом $\gamma_0 = 1,50 \text{ г}/\text{см}^3$, влажностью $w = 0,003$ (воздушно-сухой грунт) и 0,05; 0,15 проводились на установке квазистатического типа, аналогичной по конструкции, описанной ранее в [1]. Установка представляет вертикально стоящий цилиндр с размещенным в нем в специальном кольце образцом грунта диаметром $D_0 = 150 \text{ мм}$ и высотой $h_0 = 30 \text{ мм}$ и поршня, передающего на образец грунта ударную нагрузку. При помощи резиновых прокладок и изменения высоты сбрасывания груза создавались различные режимы деформирования образцов. Кроме того, проводились статические испытания образцов при скорости деформирования $\dot{\varepsilon} = -2 \cdot 10^{-3} - 0,5 \cdot 10^{-5} \text{ с}^{-1}$. Каждый образец подвергался трехкратному нагружению. Предусматривалось пятикратное повторение опытов в одинаковых же условиях (серия опытов).

Главные напряжения в образце $\sigma_1(t)$ и $\sigma_2(t)$ регистрировались с помощью тензометрических датчиков, установленных в центре поршня, в центре и крае дна цилиндра (четыре датчика) и в боковой поверхности кольца (два датчика). С помощью тензометрического стакана регистрировалось также общее усилие, передаваемое на образец при ударе.

Тензометрические датчики для измерения напряжений имели диаметр чувствительного элемента (круглой тонкой пластинки, защемленной по контуру) $d = 22 \text{ мм}$ и толщину $\delta = 2-4 \text{ мм}$. Систематические погрешности измерений напряжений такими датчиками в исследуемом диапазоне нагрузок были исследованы в [3] и не превышали в опытах $\pm 3-5\%$.

Сопоставление показаний датчиков, установленных в центре поршня, в центре и крае дна цилиндра, свидетельствует об их совпадении с точностью до случайных погрешностей измерений. Аналогичный вывод сделан относительно данных о напряжениях $\sigma_1(t)$, получаемых путем измерений общего усилия, передаваемого на образец при ударе. Поэтому в дальнейшем все датчики для измерения напряжений $\sigma_1(t)$ обрабатывались как равноправные. Тем самым предполагалось, что напряжения по высоте образца и по его диаметру распределены равномерно.

Деформации образца измерялись с помощью трех тензометрических датчиков перемещений, установленных под углами 120° (в плоскости образца). Датчик перемещений состоял из двух консолей, жестко укрепленных в нижней части цилиндра. Между консолями перемещался клин, соединенный с подвижным поршнем установки. На консоли наклеивались тензометры, сигналы которых пропорциональны перемещению поршня.

Деформация определялась в квазистатическом приближении соотношением $\varepsilon(t) = u(t)/h_0$, где $u(t)$ — перемещение поршня. Регистрируемые напряжения $\sigma_{1i}(t)$, $\sigma_{2i}(t)$ и деформации $\varepsilon_i(t)$ ($i = 1, 2, \dots, l$, l — количество измерений в выборке) представляют некоторые реализации случайных процессов. При обработке результатов совокупность этих реализаций

при фиксированных моментах времени t_j ($j = 1, 2, \dots, n$) рассматривалась как система случайных величин. Здесь n — количество равных интервалов Δt , на которые разбивался весь процесс для каждого из датчиков в опытах данной серии. Величина интервалов Δt составляла $\Delta t = (0,25-1,0)10^{-3}$ с в зависимости от длительности нагрузки в серии. Для каждого из моментов t_j ($j=1, 2, \dots, n$) в серии опытов производилась проверка гипотезы о нормальном распределении напряжений $\sigma_1(t_j)$, $\sigma_2(t_j)$ и деформаций $\varepsilon(t_j)$ с помощью критерия Уилка W [4]. Затем для каждой из случайных величин $\sigma_1(t_j)$, $\sigma_2(t_j)$, $\varepsilon(t_j)$ ($j = 1, 2, \dots, n$) производились оценки параметров распределения (математического ожидания и дисперсии) методом доверительных интервалов с помощью распределения Стьюдента и распределения χ^2 соответственно [5, 6].

w	Номер нагрузки	k	r	r_1	r_2	ξ
0,003	1	0,893	0,664	-0,106	0,912	0,550
	2	1,183	0,881	0,421	0,970	0,461
	3	1,200	0,567	-0,799	0,975	0,455
0,05	1	1,493	0,972	0,831	0,992	0,379
	2	1,595	0,942	0,674	0,986	0,354
	3	1,649	0,979	0,869	0,995	0,341
0,15	1	1,559	0,914	0,549	0,979	0,361
	2	1,763	0,960	0,761	0,990	0,320
	3	1,782	0,945	0,790	0,991	0,315

Если вычисленное значение W оказывалось меньше 5 % критического значения, принятого по таблице для данной выборки, то вероятность того, что выборка взята из совокупности, распределенной по нормальному закону, не превышала 0,05. В этих случаях гипотеза о нормальном распределении должна быть отвергнута.

Воспользовавшись для представления закона распределения случайной величины рядом Грама-Шарлье [5], можно показать, что в случае малой асимметрии ($A \leq 0,5-0,8$) распределение можно приближенно принимать нормальным. При $A > 0,5-0,8$ распределение значительно отличается от нормального. При обработке опытов в качестве критического приымкалось $A = 0,7$.

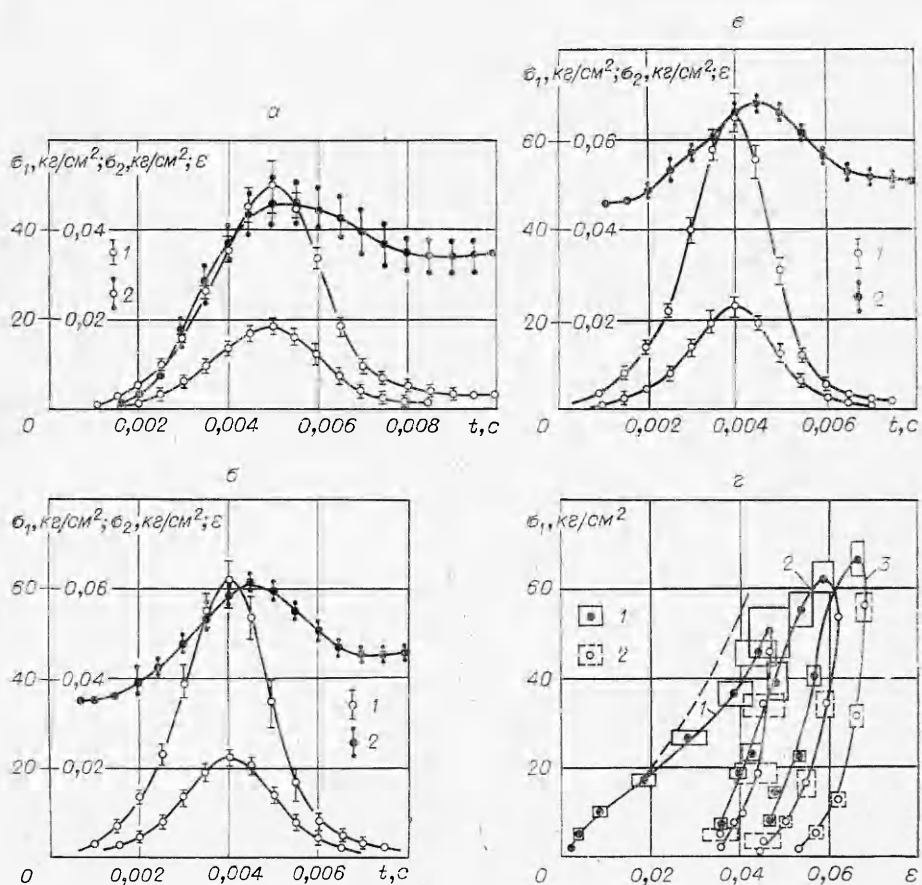
Следует отметить, что последнее обстоятельство является существенным только при оценке точности определения дисперсии. Оценка математического ожидания в данных опытах во всех случаях может быть с достаточной точностью произведена на основе закона о нормальном распределении среднего арифметического в связи с достаточным объемом выборки [5, 6].

Оценка доверительных интервалов для линейной регрессии при определении условия пластичности производилась с помощью распределения Стьюдента, а при оценке доверительных интервалов для коэффициентов корреляции использовалось преобразование Фишера [5].

2. На фиг 1, $a - e$ приведены результаты измерений напряжений $\sigma_1(t)$, $\sigma_2(t)$ и деформаций $\varepsilon(t)$ при трех последовательных нагрузках образцов песчаного грунта с $\gamma_0 = 1,50$ г/см³, $w = 0,05$. Фиг 1, $a - e$ соответствуют первому, второму и третьему нагружениям. Обозначения

1 — средние арифметические значения напряжений $\bar{\sigma}_1(t_j) = \frac{1}{l} \sum_{i=1}^l \sigma_{1i}(t_j)$,
 $\bar{\sigma}_2(t_j) = \frac{1}{l} \sum_{i=1}^l \sigma_{2i}(t_j)$, 2 — деформаций $\bar{\varepsilon}(t_j) = \frac{1}{l} \sum_{i=1}^l \varepsilon_i(t_j)$ с соответствующими доверительными интервалами $\pm I_\beta$, определенными с надежностью $\beta = 0,9$.

Относительные доверительные интервалы для средних арифметических $\alpha(\bar{\sigma}_{1j}) = \pm I_\beta(\bar{\sigma}_{1j})/\bar{\sigma}_{1j}$, $\alpha(\bar{\sigma}_{2j}) = \pm I_\beta(\bar{\sigma}_{2j})/\bar{\sigma}_{2j}$, $\alpha(\bar{\varepsilon}_j) = \pm I_\beta(\bar{\varepsilon}_j)/\bar{\varepsilon}_j$, как

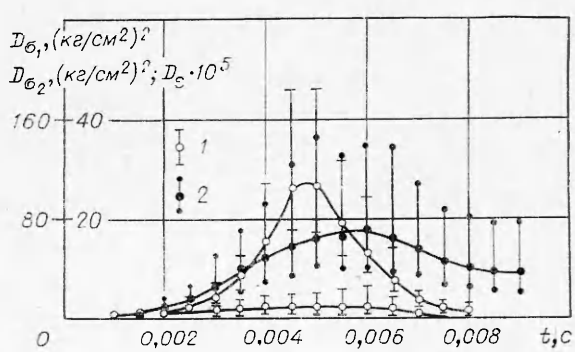


Фиг. 1

следует из данных фиг. 1, $a-e$, составляют $\alpha = + (0,10 - 0,15)$ при $0,0025 \leq t \leq 0,0075$ с для напряжений и при $0,003 \leq t \leq 0,010$ с для деформаций.

В начальные и конечные моменты времени (в последнем случае для напряжений) величины α могут быть больше в связи с невозможностью обеспечить одинаковую точность измерений для малых и больших значений измеряемой величины с помощью одного и того же датчика.

На фиг. 2 приведены результаты оценки дисперсий напряжений $D_{\sigma_1}(t_j)$, $D_{\sigma_2}(t_j)$ и деформаций $D_\varepsilon(t_j)$, соответствующих данным фиг. 1. Обозначения 1, 2 — оценки дисперсий напряжений и деформаций с соответствующими доверительными интервалами, определенными с надежностью $\beta = 0,9$. Из фиг. 2 следует, что для основной части процесса для напряжений и деформаций коэффициенты вариации составляли $k_v = (0,20 - 0,30)$.



Фиг. 2

Таким образом, серия из 5 опытов позволила существенно увеличить точность эксперимента (до двух раз). Оценки соответствующих параметров распределения для других случаев аналогичны. Несколько меньшая точность получена для воздушно-сухого грунта.

Гипотеза о законе нормального распределения для измеряемых величин $\sigma_1(t_j)$, $\sigma_2(t_j)$, $\varepsilon(t_j)$, как показали оценки с помощью W , не может быть отвергнута для основной части процесса для исследованных грунтов при различных режимах деформирования. Исключения в ряде случаев составляют начальные и конечные моменты времени, где точность измерений мала.

На фиг. 1, *г* по данным фиг. 1, *а* — *в* построены путем исключения времени t кривые $\sigma_1(\varepsilon)$ для первого, второго и третьего нагружений (кривые 1—3 соответственно). Точки 1 соответствуют нагружению ($\partial\sigma_1/\partial t > 0$), точки 2 — разгрузке ($\partial\sigma_1/\partial t < 0$). Из этих результатов видно, что кривые $\sigma_1(\varepsilon)$ при повторных нагрузлениях не совпадают с линиями предыдущей разгрузки. Доля остаточных деформаций ε_0 по отношению к максимальным ε_* при повторных нагрузлениях убывает: $\varepsilon_0/\varepsilon_* = 0,72$ при первом нагружении, 0,44 и 0,25 при втором и третьем нагружениях.

На фиг. 1, *г* штриховая кривая, полученная с использованием законов сохранения на фронте ударной волны при $\varepsilon = \infty$ [3, 7], соответствует результатам полевых исследований в близком по характеристикам грунте ($\gamma_0 = 1,48 \text{ г}/\text{см}^3$, $w = 0,05$).

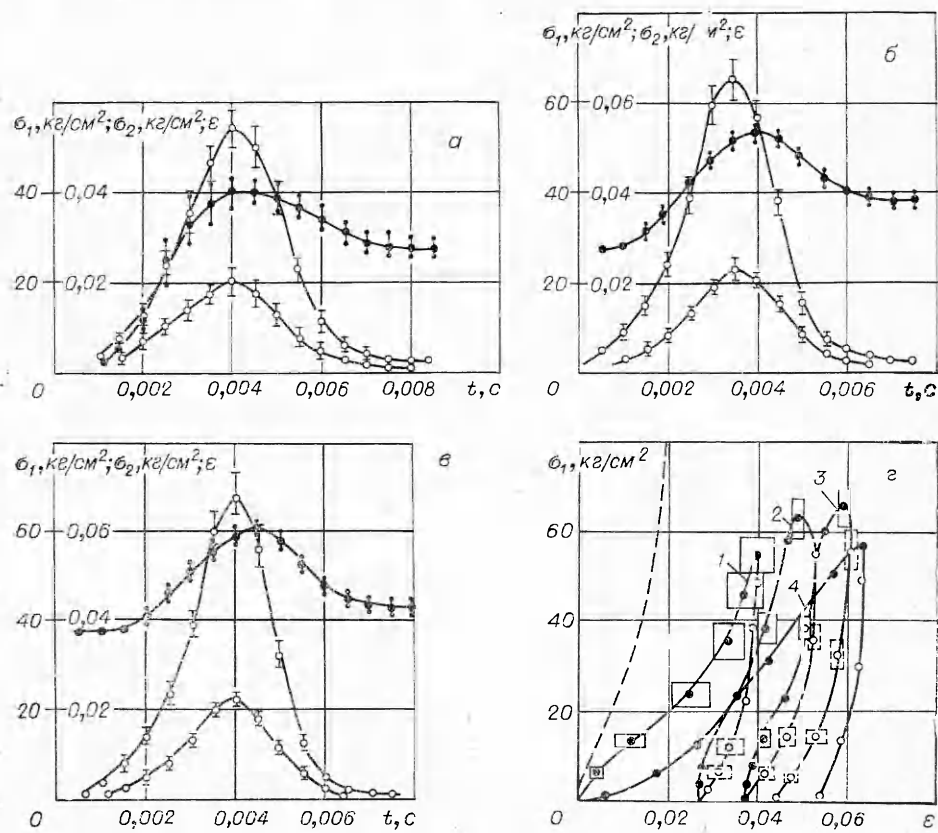
Представленные результаты с достаточной надежностью подтверждают опубликованные ранее данные [1] о существенном влиянии скорости деформирования (вязкости) на сжимаемость песчаных грунтов естественной влажности. При этом было отмечено также значительное влияние влажности песчаного грунта на его вязкопластические свойства.

В частности, для образцов $w = 0,003$ (воздушно-сухие образцы) в пределах точности эксперимента при максимальных нагрузках до $50 \text{ кг}/\text{см}^2$ и при средних скоростях деформирования $\dot{\varepsilon} \leq 17 - 20 \text{ с}^{-1}$ не удалось обнаружить эффектов влияния скорости деформирования на сжимаемость грунта. Для образцов с $w = 0,05$, как видно из фиг. 1, *г*, это влияние становится существенным.

На фиг. 3, *а* — *в* показаны кривые $\sigma_1(t)$, $\sigma_2(t)$, $\varepsilon(t)$, полученные для образцов с $\gamma_0 = 1,50 \text{ г}/\text{см}^3$, $w = 0,15$ при тех же условиях нагружения, что для кривых фиг. 1.

Кривые $\sigma_1(\varepsilon)$ для этих случаев (1—3) представлены на фиг. 3, *г*; штрихом, как и ранее, показана кривая $\sigma_1(\varepsilon)$, $\varepsilon = \infty$, соответствующая результатам полевых исследований в аналогичном грунте ($\gamma_0 = 1,50 - 1,52 \text{ г}/\text{см}^3$, $w = 0,12 - 0,15$) по данным [7]. Кривая 4 соответствует данным статических испытаний при $\dot{\varepsilon} = 0,5 \cdot 10^{-5} \text{ с}^{-1}$. Различие в деформациях, соответствующих предельным диаграммам ($\dot{\varepsilon} = 0,5 \cdot 10^{-5} \text{ с}^{-1}$ и $\dot{\varepsilon} = \infty$) при $\sigma_1 = 20 - 60 \text{ кг}/\text{см}^2$, составляет в данном грунте 300 %. При $w = 0,05$ это различие не более 200 % (фиг. 5). Таким образом, при увеличении влажности до $w = 0,15$ роль эффектов вязкости в песчаном грунте возросла по сравнению с грунтом при $w = 0,05$. Величины отношения $\varepsilon_0/\varepsilon_*$ при $w = 0,15$ при трех последовательных нагрузлениях несколько уменьшились и составили соответственно 0,65; 0,37 и 0,24.

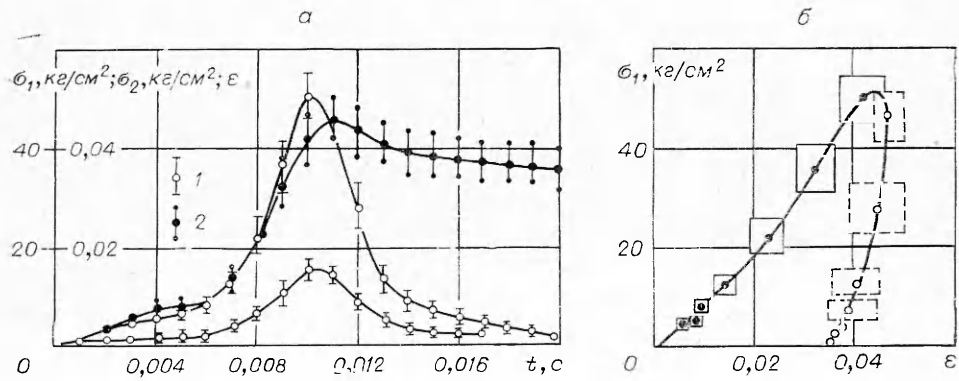
При увеличении длительности воздействия отмечены факты существенного вырастания деформаций при разгрузке по напряжениям ($\partial\sigma_1/\partial t < 0$). В частности, на фиг. 4, *а*, *б* представлены кривые $\sigma_1(t)$, $\sigma_2(t)$, $\varepsilon(t)$ (фиг. 4, *а*) и $\sigma_1(\varepsilon)$ (фиг. 4, *б*) при однократном нагружении песчаного грун-



Фиг. 3

та с $\gamma_0 = 1,50 \text{ г}/\text{см}^3$, $w = 0,15$. На фиг. 4, б деформации при $\partial\sigma_1/\partial t < 0$ продолжают расти в течение некоторого времени. При меньшей длительности процесса для аналогичного грунта таких эффектов не наблюдалось (фиг. 3, г, кривая 1).

На фиг. 5 представлены кривые $\sigma_1(\epsilon)$ для песчаных грунтов с $\gamma_0 = 1,50 \text{ г}/\text{см}^3$ различной влажности (1— $w = 0,15$; 2— $w = 0,05$; 3— $w = 0,003$), полученные при близких значениях средних скоростей дефор-



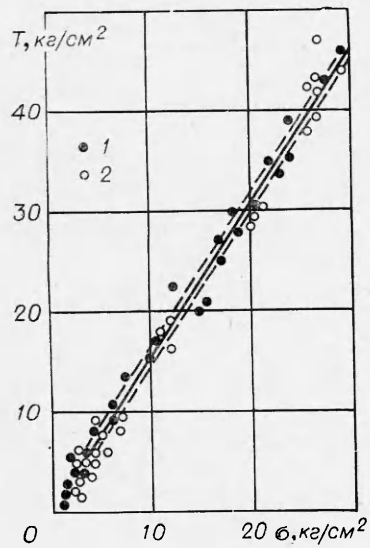
Фиг. 4

мирования при нагружении ($1 - \dot{\varepsilon}_1 = 13,0$; $2 - \dot{\varepsilon}_2 = 12,5$; $3 - \dot{\varepsilon}_3 = 17,5 \text{ с}^{-1}$). Доверительные интервалы указаны здесь только для максимальных значений напряжений и деформаций. Видно, что при увеличении влажности с $w=0,003$ до $0,15$ деформация грунта при значениях $\sigma_1 = 20-30 \text{ кг}/\text{см}^2$ существенно уменьшается (до 1,75 раза при $\sigma_1=50 \text{ кг}/\text{см}^2$). Соответственно изменяется и вид кривой $\sigma_1(\varepsilon)$, на которой при увеличении влажности до $w = 0,05-0,15$ появляется ярко выраженная точка перегиба. При $w=0,003$ и $\sigma_1 \leq 50 \text{ кг}/\text{см}^2$ кривая $\sigma_1(\varepsilon)$ имеет выпуклость к оси напряжений ($\partial^2\sigma_1/\partial\varepsilon^2 < 0$). Аналогичные данные о характере динамических кривых для песчаных грунтов были получены ранее в [8].

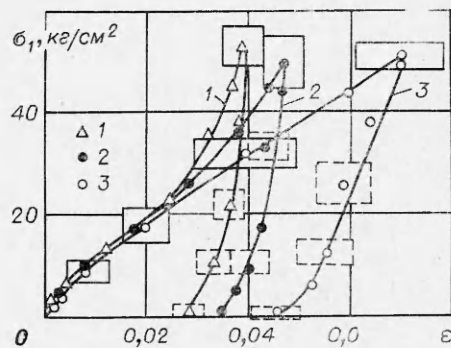
На фиг. 6 представлены результаты исследований условия пластичности для песчаного грунта с $\gamma_0 = 1,50 \text{ г}/\text{см}^3$, $w = 0,05$. По оси ординат отложена величина $T = \sqrt{2}(\sigma_1 - \sigma_2)$, на оси абсцисс — среднее напряжение $\sigma = (1/3)(\sigma_1 + 2\sigma_2)$. Каждая из точек в плоскости (T, σ) — среднее арифметическое значение для каждого из опытов по результатам пяти измерений для $\sigma_1(t_j)$ и по двум измерениям для $\sigma_2(t_j)$, $j = 1, 2, \dots, n$. Сплошная линия — линии линейной регрессии $T = k\sigma + b$, штриховая соответствует доверительному интервалу для линейной регрессии с надежностью $\beta = 0,9$. Аналогичные результаты получены для образцов влажностью $w = 0,003$ и $0,15$. В таблице приведены данные по величинам коэффициентов k , коэффициентов бокового давления $\xi = (3\sqrt{2} - k)/(3\sqrt{2} + 2k)$ [1], а также коэффициентов корреляции r для линейной регрессии и соответствующих доверительных интервалов r_1, r_2 при $\beta = 0,9$ для коэффициентов корреляции для песчаных грунтов различной влажности. Величины b во всех случаях с точностью до погрешности измерений равны нулю.

Из таблицы видно, что с увеличением влажности величины коэффициентов k увеличиваются (соответственно величины ξ убывают) в 1,4—1,7 раза. Заметим, что полученные результаты близки к данным, полученным при испытаниях аналогичных грунтов в полевых условиях [1, 7].

Следует отметить, что для грунта с $w = 0,003$ имеет место существенно более широкий, чем для $w = 0,05$ и $0,15$, доверительный интервал для коэффициента корреляции. Анализ результатов опытов показывает, что этот факт связан с заметным различием зависимости $T(\sigma)$ для воздушно-сухого грунта при нагружении и разгрузке. Для влажных грунтов условие пластичности (величины k) в пределах точности опытов не зависит от условий нагружения или разгрузки. В частности, на фиг. 6 точки 1 соответствуют нагружению ($\partial\sigma/\partial t > 0$), а точки 2 — разгрузке ($\partial\sigma/\partial t < 0$).



Фиг. 6



Фиг. 5

Для условий статического нагружения песчаного грунта с $w = 0,05$ величина k оказалась равной 1,459, что также близко к данным таблицы для первого нагружения.

При повторных нагружениях величины k несколько возрастают. При этом для воздушно-сухого грунта ($w = 0,003$) это возрастание при трех последовательных нагружениях составляет 35%, а для влажных — не превышает 7—14%. Последние величины находятся в пределах точности измерений.

Поэтому можно считать, что для песчаных грунтов естественной влажности величина k не изменяется при повторных (трехкратных) нагружениях и, таким образом, не зависит от скорости деформирования.

Получены также данные, свидетельствующие о существенной роли влажности в формировании эффектов вязкости в песчаных грунтах.

Оценка параметров функций распределения при измерениях напряжений и деформаций в установке квазистатического типа и оценка точности этих измерений позволяют перейти к количественной оценке механических характеристик грунтов с учетом их вязкопластических свойств при кратковременных динамических нагрузках.

Авторы выражают благодарность В. В. Викторову и Ю. М. Глухову за помощь в подготовке экспериментальных исследований, А. В. Горбушину, Л. Г. Романовой и Л. А. Яшковой за участие в обработке результатов опытов.

Поступила 3 XI 1975

ЛИТЕРАТУРА

1. Рыков Г. В. Влияние скорости деформирования на сжимаемость и сдвиг песчаных глинистых грунтов при кратковременных нагрузках.— ПМТФ, 1969, № 3.
2. Григорян С. С. Об основных представлениях динамики грунтов.— ПММ, 1960, т. 24, вып. 6.
3. Нарожная З. В., Рыков Г. В. О погрешностях измерения напряжений в грунтах при кратковременных нагрузках.— ПМТФ, 1972, № 4.
4. Шапиро С., Хан Г. Статистические модели в инженерных задачах. М., «Мир», 1969.
5. Кендалл М., Стьюарт А. Теория распределений. М., «Наука», 1966.
6. Хальд А. Математическая статистика с техническими приложениями. М., ИЛ, 1956.
7. Рыков Г. В. Экспериментальное исследование поля напряжений при взрыве в песчаном грунте.— ПМТФ, 1964, № 1.
8. Рахматуллин Х. А., Сагомонян А. Я., Алексеев Н. А. Вопросы динамики грунтов. М., изд. Моск. ун-та, 1964.